

Starkniederschlagshöhen und -spenden gemäß KOSTRA-DWD-2010R

Auswertungszeitraum von 1951 - 2010, Januar - Dezember

Rasterfeld: 65013

Zeile: 65

Spalte: 13

Seite: 1/2

| Dauerstufe D | | Wiederkehrzeit T | | | | | | | | | | | | | | | | | |
|--------------|-----|------------------|------------|------|------------|------|------------|------|------------|------|------------|------|------------|------|------------|------|------------|-------|------------|
| | | 1 a | | 2 a | | 3 a | | 5 a | | 10 a | | 20 a | | 30 a | | 50 a | | 100 a | |
| min | Std | mm | l / (s ha) | mm | l / (s ha) | mm | l / (s ha) | mm | l / (s ha) | mm | l / (s ha) | mm | l / (s ha) | mm | l / (s ha) | mm | l / (s ha) | mm | l / (s ha) |
| 5 | | 4,7 | 156,7 | 6,4 | 213,3 | 7,4 | 246,7 | 8,7 | 290,0 | 10,4 | 346,7 | 12,1 | 403,3 | 13,1 | 436,7 | 14,4 | 480,0 | 16,1 | 536,7 |
| 10 | | 7,6 | 126,7 | 9,9 | 165,0 | 11,2 | 186,7 | 13,0 | 216,7 | 15,3 | 255,0 | 17,6 | 293,3 | 19,0 | 316,7 | 20,7 | 345,0 | 23,0 | 383,3 |
| 15 | | 9,5 | 105,6 | 12,3 | 136,7 | 13,9 | 154,4 | 15,9 | 176,7 | 18,7 | 207,8 | 21,5 | 238,9 | 23,1 | 256,7 | 25,1 | 278,9 | 27,9 | 310,0 |
| 20 | | 10,9 | 90,8 | 14,0 | 116,7 | 15,9 | 132,5 | 18,2 | 151,7 | 21,3 | 177,5 | 24,5 | 204,2 | 26,3 | 219,2 | 28,6 | 238,3 | 31,7 | 264,2 |
| 30 | | 12,8 | 71,1 | 16,5 | 91,7 | 18,7 | 103,9 | 21,4 | 118,9 | 25,2 | 140,0 | 28,9 | 160,6 | 31,1 | 172,8 | 33,9 | 188,3 | 37,6 | 208,9 |
| 45 | | 14,4 | 53,3 | 18,9 | 70,0 | 21,5 | 79,6 | 24,8 | 91,9 | 29,2 | 108,1 | 33,7 | 124,8 | 36,3 | 134,4 | 39,6 | 146,7 | 44,1 | 163,3 |
| 60 | | 15,4 | 42,8 | 20,5 | 56,9 | 23,4 | 65,0 | 27,1 | 75,3 | 32,2 | 89,4 | 37,3 | 103,6 | 40,2 | 111,7 | 43,9 | 121,9 | 49,0 | 136,1 |
| 90 | | 16,9 | 31,3 | 22,3 | 41,3 | 25,5 | 47,2 | 29,5 | 54,6 | 35,0 | 64,8 | 40,5 | 75,0 | 43,6 | 80,7 | 47,7 | 88,3 | 53,1 | 98,3 |
| 120 | 2 | 18,0 | 25,0 | 23,8 | 33,1 | 27,1 | 37,6 | 31,4 | 43,6 | 37,1 | 51,5 | 42,9 | 59,6 | 46,3 | 64,3 | 50,5 | 70,1 | 56,3 | 78,2 |
| 180 | 3 | 19,7 | 18,2 | 25,9 | 24,0 | 29,6 | 27,4 | 34,2 | 31,7 | 40,4 | 37,4 | 46,6 | 43,1 | 50,2 | 46,5 | 54,8 | 50,7 | 61,0 | 56,5 |
| 240 | 4 | 21,0 | 14,6 | 27,6 | 19,2 | 31,4 | 21,8 | 36,3 | 25,2 | 42,8 | 29,7 | 49,4 | 34,3 | 53,2 | 36,9 | 58,1 | 40,3 | 64,6 | 44,9 |
| 360 | 6 | 23,1 | 10,7 | 30,1 | 13,9 | 34,3 | 15,9 | 39,5 | 18,3 | 46,6 | 21,6 | 53,6 | 24,8 | 57,8 | 26,8 | 63,0 | 29,2 | 70,1 | 32,5 |
| 540 | 9 | 25,3 | 7,8 | 32,9 | 10,2 | 37,4 | 11,5 | 43,0 | 13,3 | 50,6 | 15,6 | 58,3 | 18,0 | 62,7 | 19,4 | 68,4 | 21,1 | 76,0 | 23,5 |
| 720 | 12 | 26,9 | 6,2 | 35,0 | 8,1 | 39,7 | 9,2 | 45,7 | 10,6 | 53,7 | 12,4 | 61,8 | 14,3 | 66,5 | 15,4 | 72,4 | 16,8 | 80,5 | 18,6 |
| 1080 | 18 | 29,5 | 4,6 | 38,2 | 5,9 | 43,3 | 6,7 | 49,7 | 7,7 | 58,4 | 9,0 | 67,1 | 10,4 | 72,2 | 11,1 | 78,6 | 12,1 | 87,3 | 13,5 |
| 1440 | 24 | 31,5 | 3,6 | 40,7 | 4,7 | 46,1 | 5,3 | 52,8 | 6,1 | 62,0 | 7,2 | 71,2 | 8,2 | 76,6 | 8,9 | 83,3 | 9,6 | 92,5 | 10,7 |
| 2880 | 48 | 38,6 | 2,2 | 48,2 | 2,8 | 53,8 | 3,1 | 60,8 | 3,5 | 70,4 | 4,1 | 79,9 | 4,6 | 85,5 | 4,9 | 92,6 | 5,4 | 102,1 | 5,9 |
| 4320 | 72 | 43,5 | 1,7 | 53,3 | 2,1 | 59,0 | 2,3 | 66,2 | 2,6 | 76,0 | 2,9 | 85,8 | 3,3 | 91,5 | 3,5 | 98,7 | 3,8 | 108,5 | 4,2 |

Angaben in mm: Bemessungsniederschlagswerte h(n)

Angaben in l / (s ha): Regenspende R(n) mit $R(n) = h(n) \times 1,666667 / D[\text{min}]$

Toleranzbereiche:

+/- 10 % für $1 \text{ a} \leq T \leq 5 \text{ a}$

+/- 15 % für $5 \text{ a} < T \leq 50 \text{ a}$

+/- 20 % für $50 \text{ a} < T \leq 100 \text{ a}$

Datenbasis: KOSTRA-DWD-2010R des Deutschen Wetterdienstes. Die Regenspende wurde auf Basis des Bemessungsniederschlags zur jeweiligen Andauer berechnet.

Für die Richtigkeit und Aktualität der Angaben wird keine Gewähr übernommen. Erstellt 07/2022.

Starkniederschlagshöhen und -spenden gemäß KOSTRA-DWD-2010R

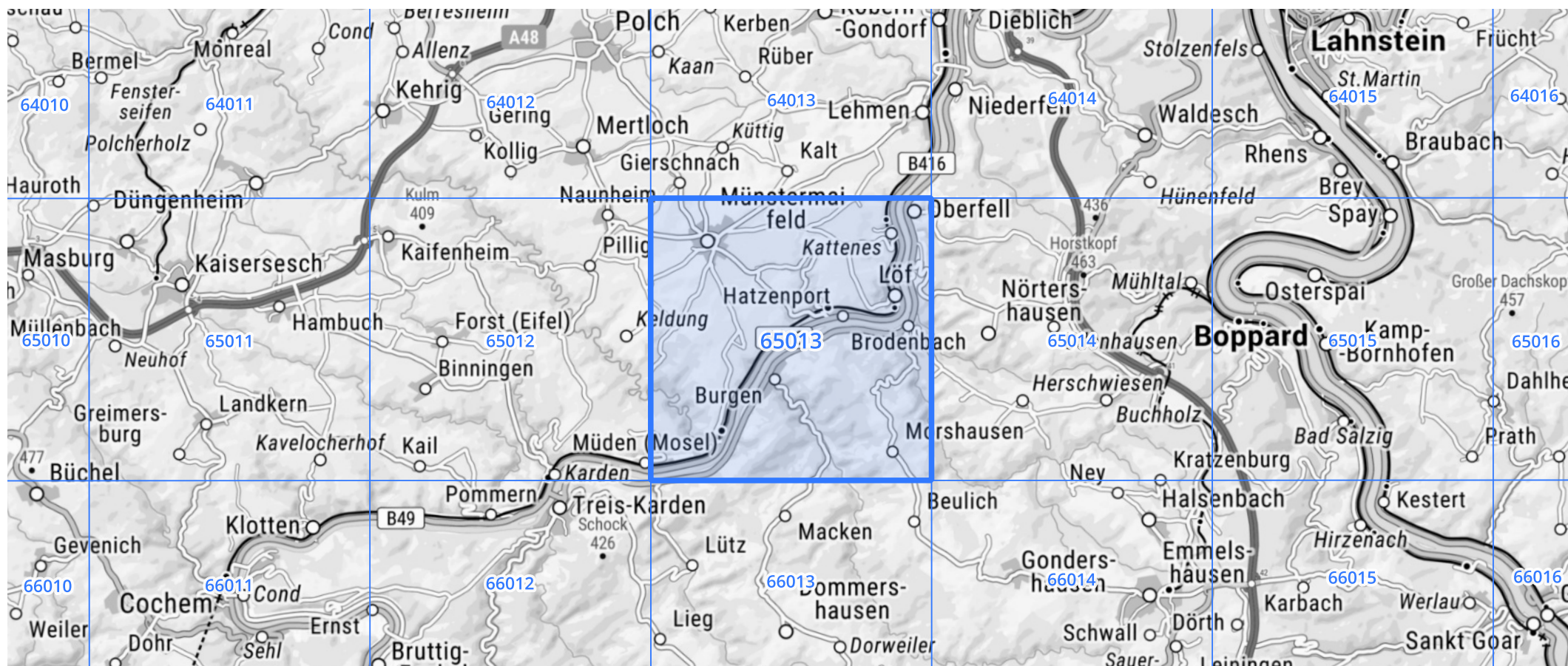
Auswertungszeitraum von 1951 - 2010, Januar - Dezember

Rasterfeld: 65013

Zeile: 65

Spalte: 13

Seite: 2/2



Quelle Rasterdaten: KOSTRA-DWD-2010R des Deutschen Wetterdienstes.

Kartendarstellung: © Bundesamt für Kartographie und Geodäsie (2022), Datenquellen: https://sgx.geodatenzentrum.de/web_public/gdz/datenquellen/Datenquellen_TopPlusOpen.html

Für die Richtigkeit und Aktualität der Angaben wird keine Gewähr übernommen. Erstellt 07/2022.